

# FÍSICA EXPERIMENTAL I

## Objectivo:

Estudo das interacções da radiação e de partículas carregadas com a matéria, bem como dos processos nucleares e atómicos das camadas internas que as originam, através do uso de fontes radioactivas e de detectores apropriados com electrónica associada.

- ⇒ Permitir a familiarização com estes aspectos da **Microfísica**, de modo a proporcionar ao estudante uma formação de base no Curso Geral, independentemente das suas opções futuras sobre assuntos de especialização.
- ⇒ O intuito é possibilitar ao futuro Engº Físico a sua inserção em equipas de trabalho pluridisciplinares onde, nos mais variados sectores industriais ou em domínios como a Medicina, a Biologia, a Agricultura ou o Ambiente, são com frequência usados servomecanismos baseados no par fonte radioactiva - detector.

## Estrutura do Curso

- Curso baseado essencialmente na vertente experimental.
- Aulas teóricas de enquadramento experimental: explicação da teoria subjacente, tanto do ponto de vista físico, como técnico.

## Avaliação de conhecimentos

- De natureza contínua:
  - ⇒ Apreciação das bases teóricas adquiridas e da desenvoltura de cada grupo face a cada trabalho laboratorial.
  - ⇒ Apreciação do relatório relativo a cada trabalho.

## Bibliografia

- Acetatos das aulas teóricas e Guias dos trabalhos laboratoriais
- "Introductory Nuclear Physics", K. Krane
- "Techniques for Nuclear and Particle Physics experiments", W. Leo
- "Nuclear and Particle Physics", W. Williams

## Metodologia de trabalho necessário

- É imperativo que cada grupo prepare o trabalho a efectuar  
⇒ Estudo dos guias de trabalhos antes da respectiva sessão
- Após realização do trabalho laboratorial, cada grupo deve elaborar e entregar o seu relatório até à aula experimental seguinte.
- Estrutura do relatório :
  - ▶ 8 a 10 páginas !
  - ▶ breve introdução teórica (maxº: 1 página)
  - ▶ ordenação dos dados obtidos em tabelas
  - ▶ comentários sobre os dados
  - ▶ análise de dados : expressões matemáticas dos métodos utilizados — erros, propagasões, ...
  - ▶ gráficos (sempre que possível)
  - ▶ comentário final sobre resultados obtidos.
- Corpo docente

# Trabalhos Experimentais

## \* 2 Séries:

1.a)

Familiarização com os diferentes módulos electrónicos a utilizar nas experiências

= 2 trabalhos =

2.a)

Estudo das características físicas de alguns processos radioactivos e dos fenómenos de interacção dessas radiações com a matéria

= 5 trabalhos =

## Trabalhos Experimentais

### Espectrómetro simples

Familiarização com a cadeia electrónica que constitui um espectrómetro simples:

Gerador de impulsos, pré-amplificador, amplificador, analisador monocanal, osciloscópio

Estudo dos modos de funcionamento de um analisador monocanal e da sua utilização na seleção das gamas de amplitude dos impulsos.

### Espectrómetro duplo

Familiarização com a cadeia electrónica de um espectrómetro duplo: uso de unidades de coincidências e de contagem.

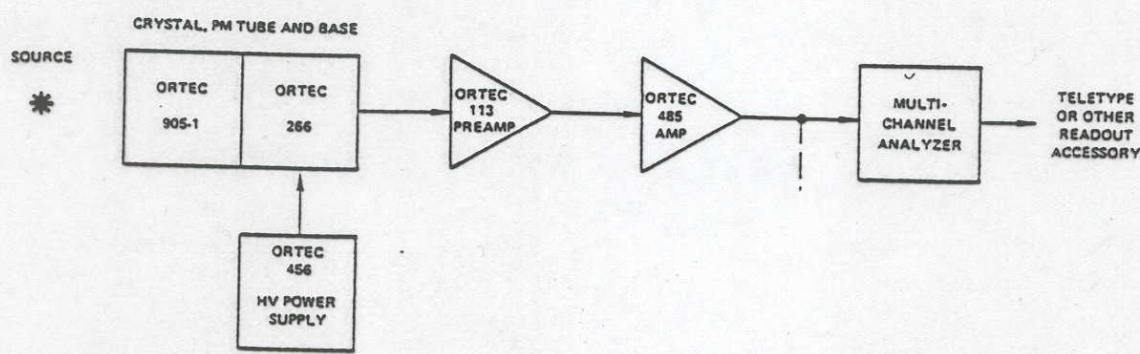
Estudo da taxa de coincidências fortuitas de 2 sinais aleatórios e verificação da sua expressão matemática  $N_c = \frac{N_1 N_2 \cdot 2\%}{T}$ .

Interacção de  $\gamma$ s com a matéria:

Efeito fotoeléctrico e efeito de Compton;  
produção de pares  $e^+e^-$

Uso de fontes emissoras  $\gamma$  e de um detector de Na I (Tl) com fotomultiplicador acoplado. Segue-se um espectrómetro simples finalizado por um analisador multicanal.

- Estudo dos espectros de energia de duas fontes  $\gamma$  conhecidas,  $^{137}\text{Cs}$  e  $^{60}\text{Co}$ : picos fotoeléctricos, de retrodifusão e patamares de Compton.
- Calibração em energia com o auxílio dos picos fotoeléctricos de fontes emissoras  $\gamma$  conhecidas.
- Estudo do espectro de 'alta' energia do  $^{208}\text{Tl}$ : picos fotoeléctrico, de escape simples e de escape duplo.



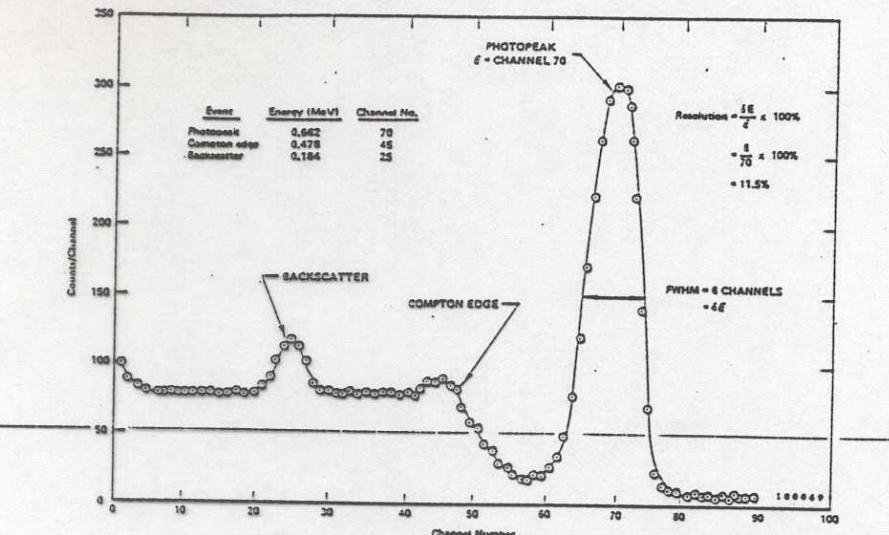


Fig. 3.2. NaI(Tl) Spectrum for  $^{137}\text{Cs}$ .

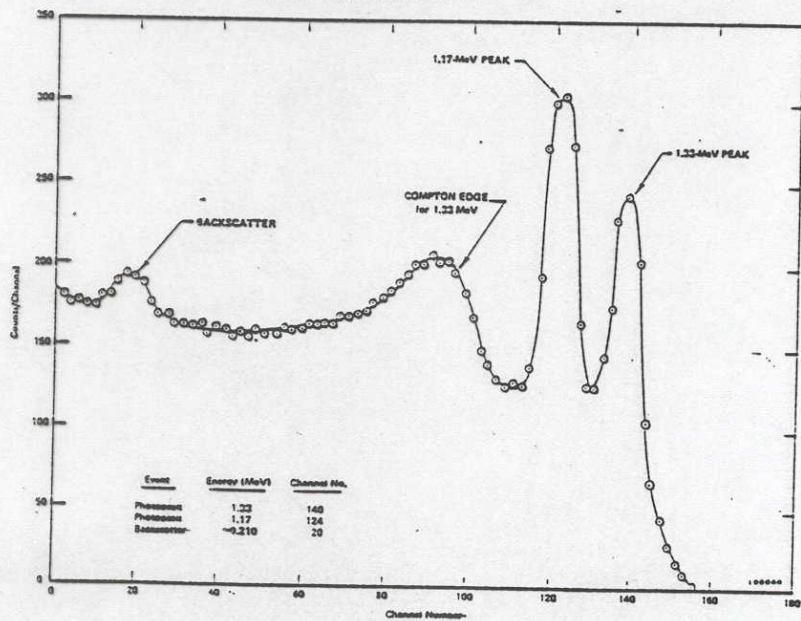
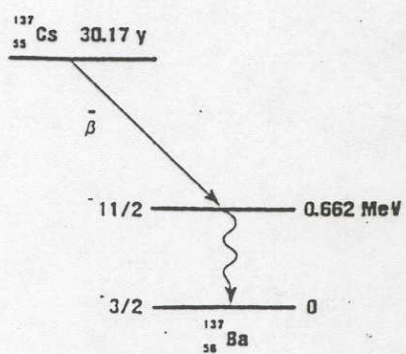
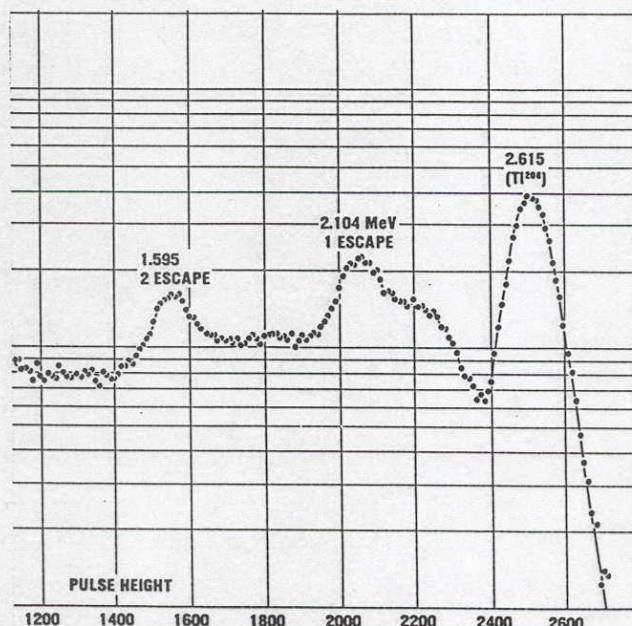
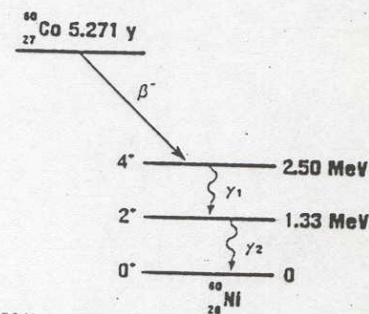


Fig. 3.3. NaI(Tl) Spectrum for  $^{60}\text{Co}$ .



208 Tl

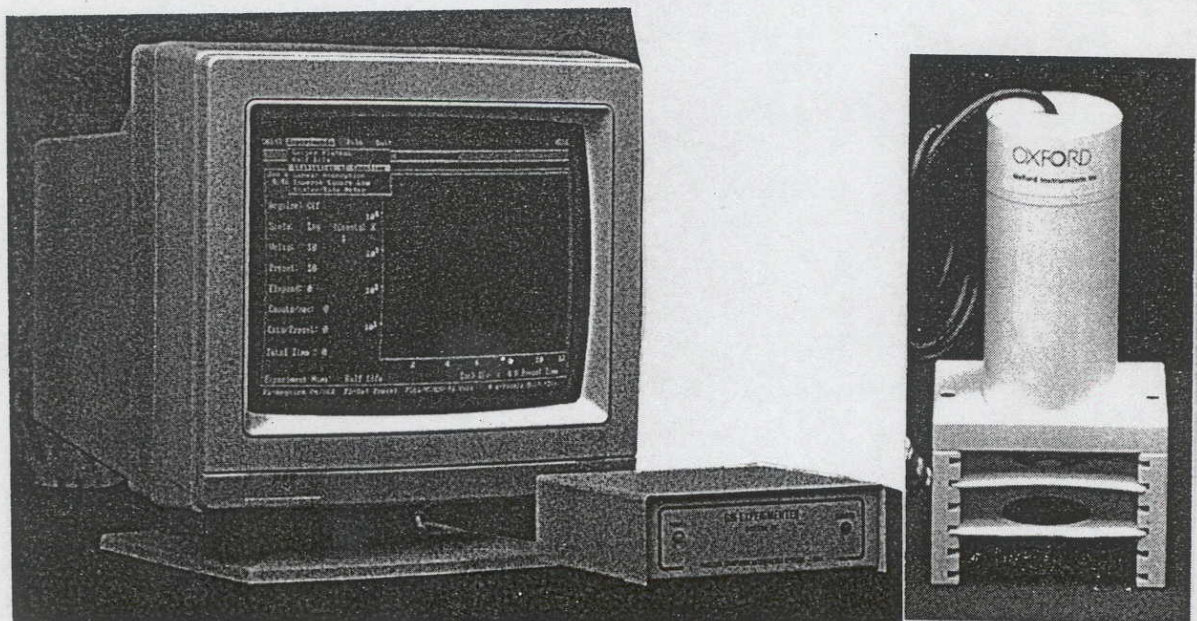
## Espectroscopia $\gamma$

Uso de uma fonte emissora  $\gamma$  e de um detector NaI (Tl) com fotomultiplicador acoplado. Segue-se um espectrómetro simples finalizado por um analisador multicanal.

- Calibração do espectro de energia com 2 fontes emissoras  $\gamma$  conhecidas.
- Estudo do espectro de energia de uma fonte  $\gamma$  desconhecida através dos seus picos fotoeléctricos, de retrodifusão e das distribuições devidas à difusão de Compton.  $\Rightarrow$  pesquisa em tabelas da identidade do emissor.
- Interacção de  $\gamma$  na matéria: estudo da absorção de  $\gamma$  em materiais de espessuras diversas.

## Experiências com um detector de Geiger-Müller

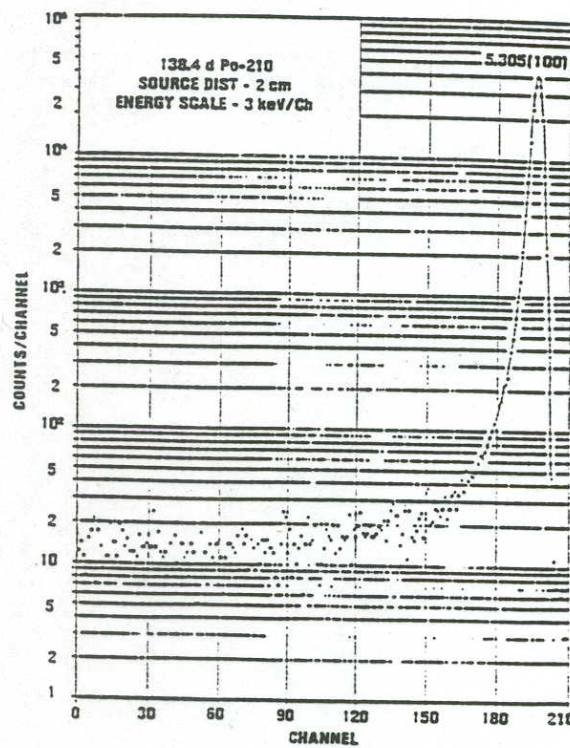
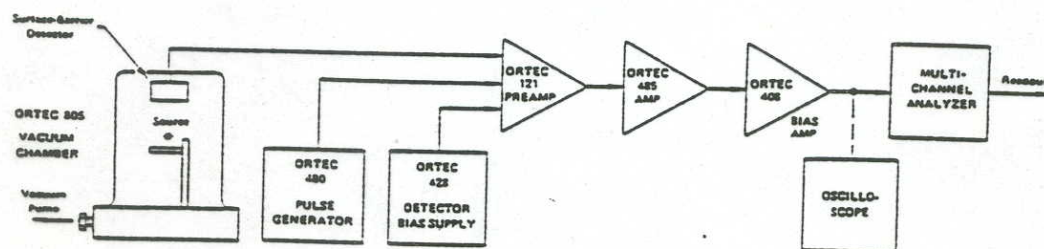
- Curva de resposta do detector, em função da tensão aplicada.
- Medição do tempo morto do detector.
- Detecção de  $\beta$  e  $\gamma$ : eficiências intrínseca e geométrica do detector.
- Retrodifusão de electrões em materiais de  $Z$  crescente
- Lei do inverso do quadrado da distância



## Espectroscopia $\alpha$

Uso de fontes emissoras de partículas  $\alpha$  e de um detector semiconductor (de junção de Silício), com espectrômetro simples.

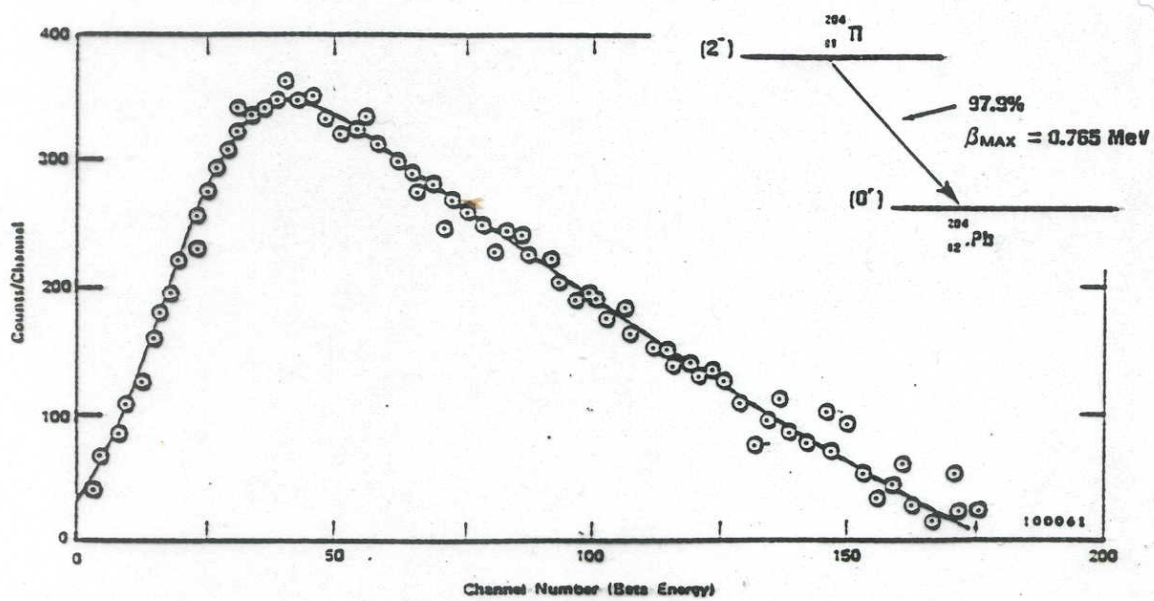
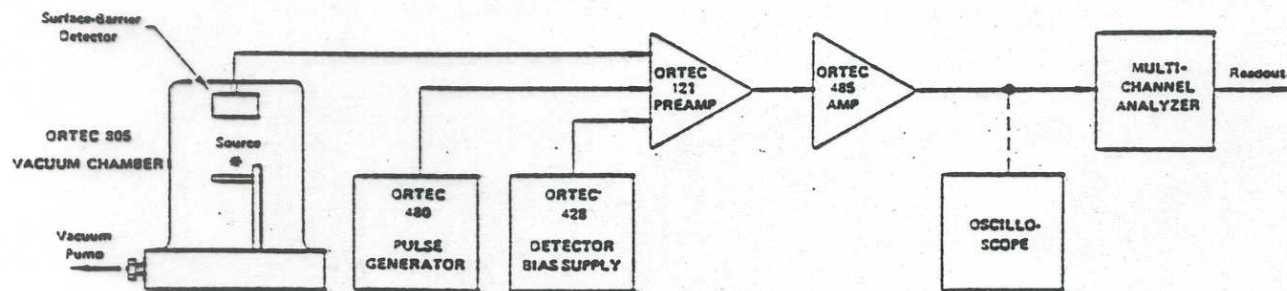
- Calibrações em energia com uma fonte emissora  $\alpha$  de  $^{210}\text{Po}$ .
- Estudo da perda de energia de  $\alpha$  na matéria, por interposição de materiais de diferentes espessuras.
- Estudo do espectro de energia de um emissor  $\alpha$ .



## Espectroscopia $\beta$

Uso de fontes e emissoras de eléctrões e de um detector semicondutor (de junção de silício), ao qual se segue um espectrómetro simples.

- Calibrações em energia com uma fonte monoenergética conhecida.
- Estudo do espectro contínuo produzido por um emissor  $\beta$  e obtenção do seu valor máximo ("end-point").
- Estudo dos picos de conversão interna produzidos numa fonte de  $^{207}\text{Bi}$ .



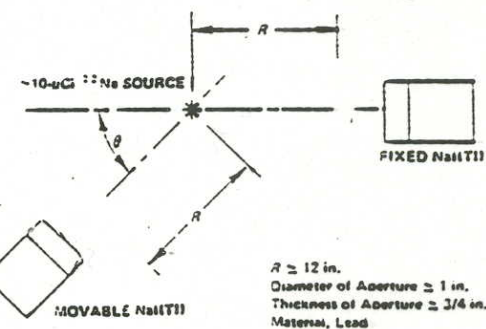
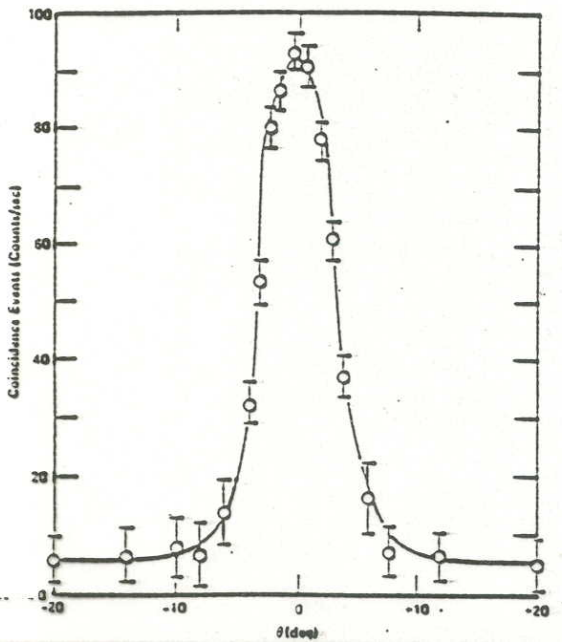
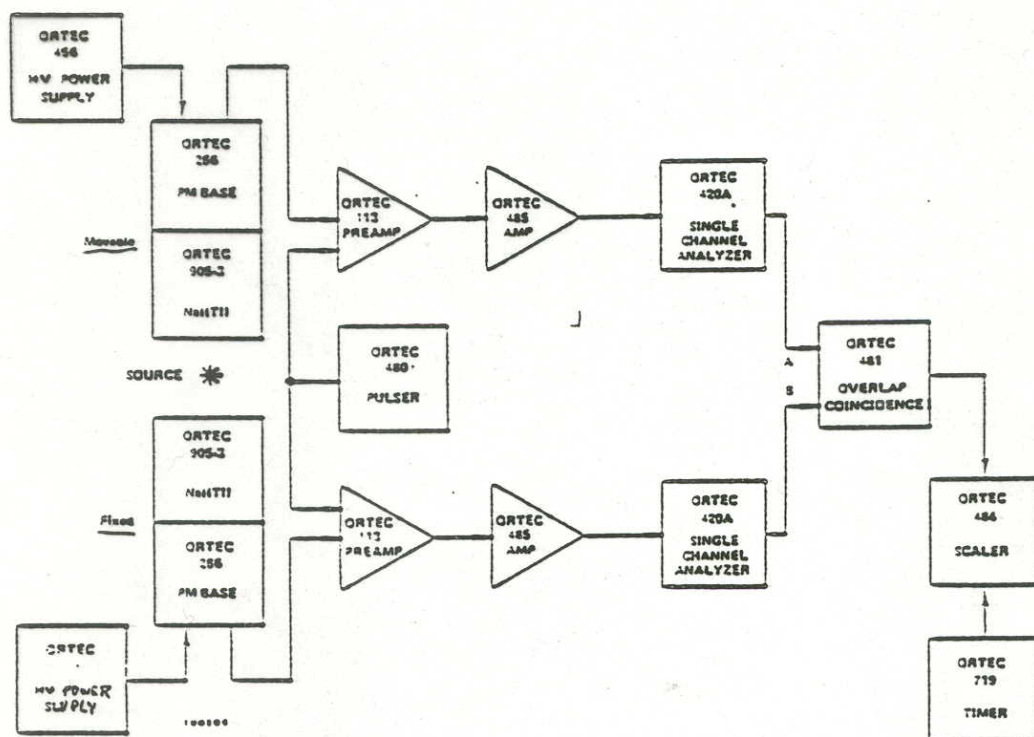
## Aniquilação do positrônio. Correções angulares

Uso de fonte emissora de positrões e de um espeetrómetro duplo de detecção de  $\gamma$ .

Estudo da taxa de coincidências dos dois  $\gamma$  produzidos no processo de aniquilação

$$e^+ e^- \rightarrow \gamma\gamma$$

em função do ângulo entre eles.



$R \approx 12$  in.  
Diameter of Aperture  $\approx 1$  in.  
Thickness of Aperture  $\approx 3/4$  in.  
Material, Lead

## Medição da vida média do estado nuclear de $14 \text{ keV}$ do $^{57}\text{Fe}$

A medição é realizada através da detecção de  $\gamma$ 's em cascata, em que:

- $\gamma_1$  corresponde à criação do estado nuclear
- $\gamma_2$  assinala a sua extinção,

pelo método das coincidências em tempo.

Usa-se um espectrómetro de 2 ramos, baseado em detectores de cintilação de  $\text{NaI(Tl)}$  acoplados aos respectivos PM's. No 2º ramo, para detecção de  $\gamma$  de muito baixa energia ( $14 \text{ keV}$ ), utiliza-se um cristal "não blindado" (c/ fina janela de berílio)

A calibração temporal dos 2 ramos faz-se com recurso a 2  $\gamma$  sincronos (provenientes da fonte de  $^{22}\text{Na}$ ).

